

NGUYEN TRONG KHOI

. Rapport CEA n° 1441

Interprétations théoriques et vérifications expérimentales d'une méthode de résonance radioélectrique pour la mesure de la densité électronique et de la fréquence de collision dans un plasma d'une décharge dans les gaz.

Sommaire. - Discussions théoriques et vérifications expérimentales sur une méthode de résonance radioélectrique pour la mesure de la densité électronique et de la fréquence de collision d'un plasma d'une décharge dans le gaz.

1960

28 pages

NGUYEN TRONG KHOI

Report CEA n° 1441

Theoretical interpretations and experimental verifications of a radioelectric resonance method for measuring the electronic density and collision frequency in a discharge plasma in gases.

Summary. - Theoretical discussions and experimental verifications of one radioelectric resonance method for measuring plasma electronic density and collision frequency.

1960

28 pages

- Rapport C.E.A. n° 1441 -

Service de Physique Appliquée

INTERPRETATIONS THEORIQUES ET VERIFICATIONS  
EXPERIMENTALES D'UNE METHODE DE RESONANCE RADIOELECTRIQUE POUR  
LA MESURE DE LA DENSITE ELECTRONIQUE ET DE LA FREQUENCE DE  
COLLISION DANS UN PLASMA D'UNE DECHARGE DANS LES GAZ

par

NGUYEN TRONG KHOI

PREMIER MINISTRE  
COMMISSARIAT A  
L'ÉNERGIE ATOMIQUE

**INTERPRETATIONS THEORIQUES ET VERIFICATIONS  
EXPERIMENTALES D'UNE METHODE DE RESONANCE  
RADIOELECTRIQUE POUR LA MESURE DE LA DENSITE  
ELECTRONIQUE ET DE LA FREQUENCE DE COLLISION  
DANS UN PLASMA D'UNE DECHARGE DANS LES GAZ**

**par**

**NGUYEN TRONG KHOI**

**Rapport CEA N° 1441**

**1960**

**CENTRE D'ÉTUDES  
NUCLÉAIRES DE SACLAY  
SERVICE DE DOCUMENTATION  
Boîte postale n° 2 - Gif-sur-Yvette (S.-et-O.)**

**INTERPRETATIONS THEORIQUES ET VERIFICATIONS  
EXPERIMENTALES D'UNE METHODE DE RESONANCE RADIOELECTRIQUE  
POUR LA MESURE DE LA DENSITE ELECTRONIQUE  
ET DE LA FREQUENCE DE COLLISION DANS UN PLASMA  
D'UNE DECHARGE DANS LES GAZ**

Discussions théoriques et vérifications expérimentales de la méthode de Vassermann sur la mesure de la concentration des électrons et de la fréquence de collision dans la plasma d'une décharge dans le gaz (J. Tekh. Fiziki - 1957, 27.3 - 516-521).

**I - RESUME DE L'ARTICLE DE VASSERMANN -**

**1 - Dispositif et mesures expérimentales.**

La méthode citée par Vassermann consiste à placer un tube à décharge entre les armatures d'un condensateur plan  $C_p$ . Ce dernier est monté en parallèle sur un circuit anti-résonant  $L_0 C_0 r_0$  comme le montre la figure 1.

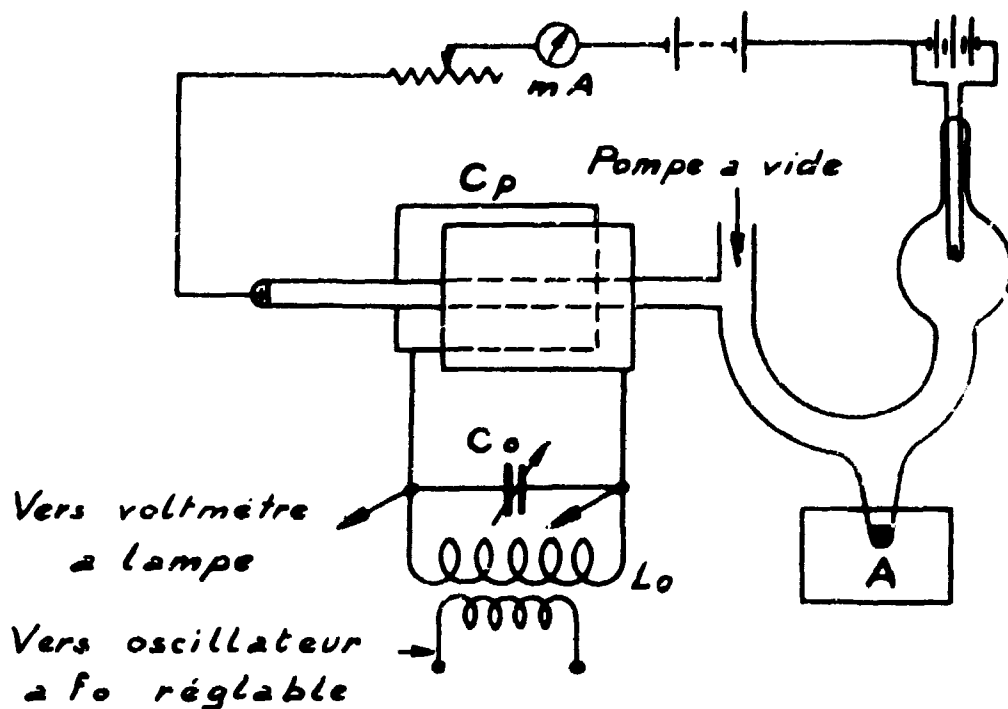


FIG-1

- Dispositif expérimental de Wassermann -

Soit  $f_0$  la fréquence de résonance du circuit  $L_0 C_0, C_p$  et  $Q_0$  son coefficient de qualité à vide. Quand on fait passer une décharge à travers les armatures du condensateur  $C_p$ , on observe une diminution de la fréquence de résonance  $f_0$  et un amortissement du circuit  $L_0 C_0$ .

$$\Delta f = f_0 - f_1 > 0 \quad \text{et} \quad Q_1 < Q_0$$

$Q_1$  étant la surtension du circuit avec décharge.

L'auteur propose de déduire de  $Q_1$  et de  $\Delta f$  la densité électronique et la fréquence de collision de la colonne de plasma.

Pour une fréquence  $f_0 = 17,2$  MHz et avec un courant de décharge  $I_d = 25$  mA on obtient  $\Delta f = 0,850$  MHz, tandis qu'avec  $I_d = 400$  mA  $\Delta f = 1,350$  MHz.

Nous reproduisons ci-dessous les courbes expérimentales obtenues par l'auteur :

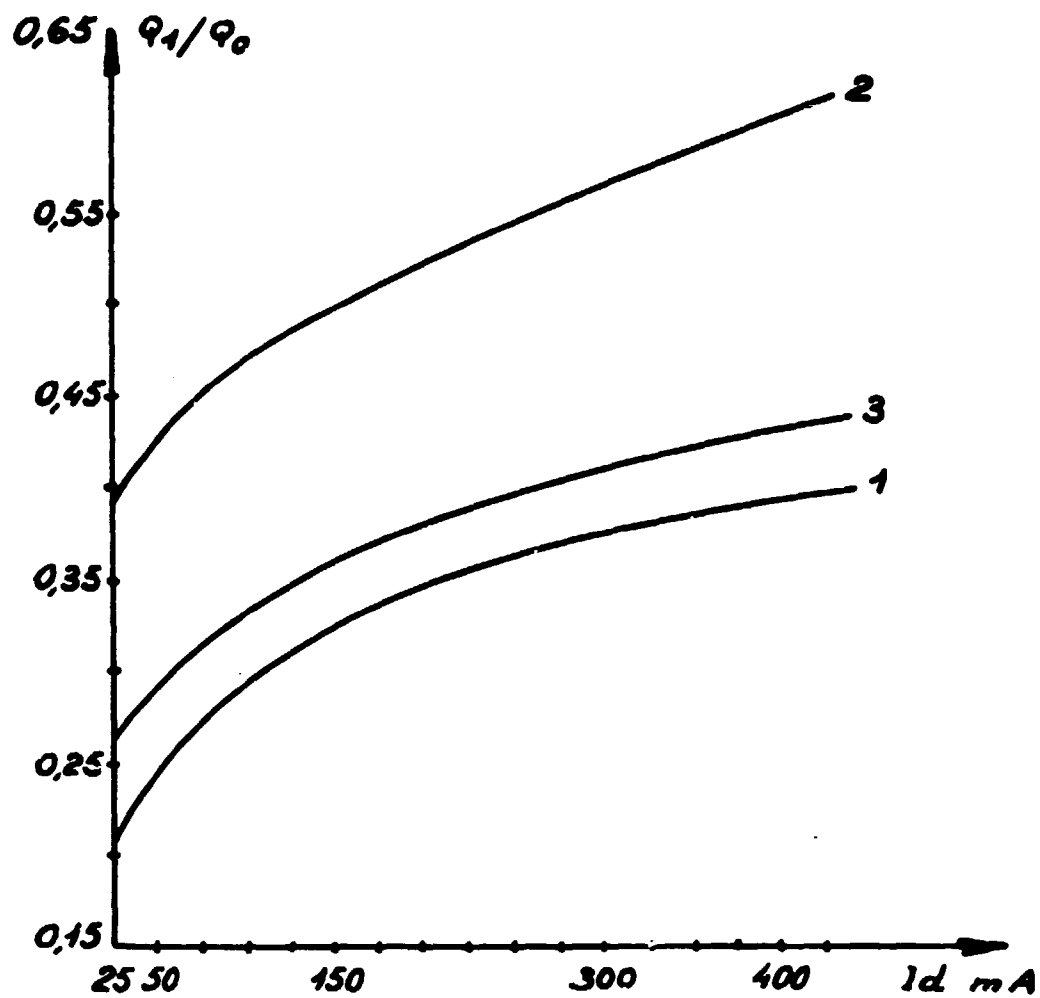
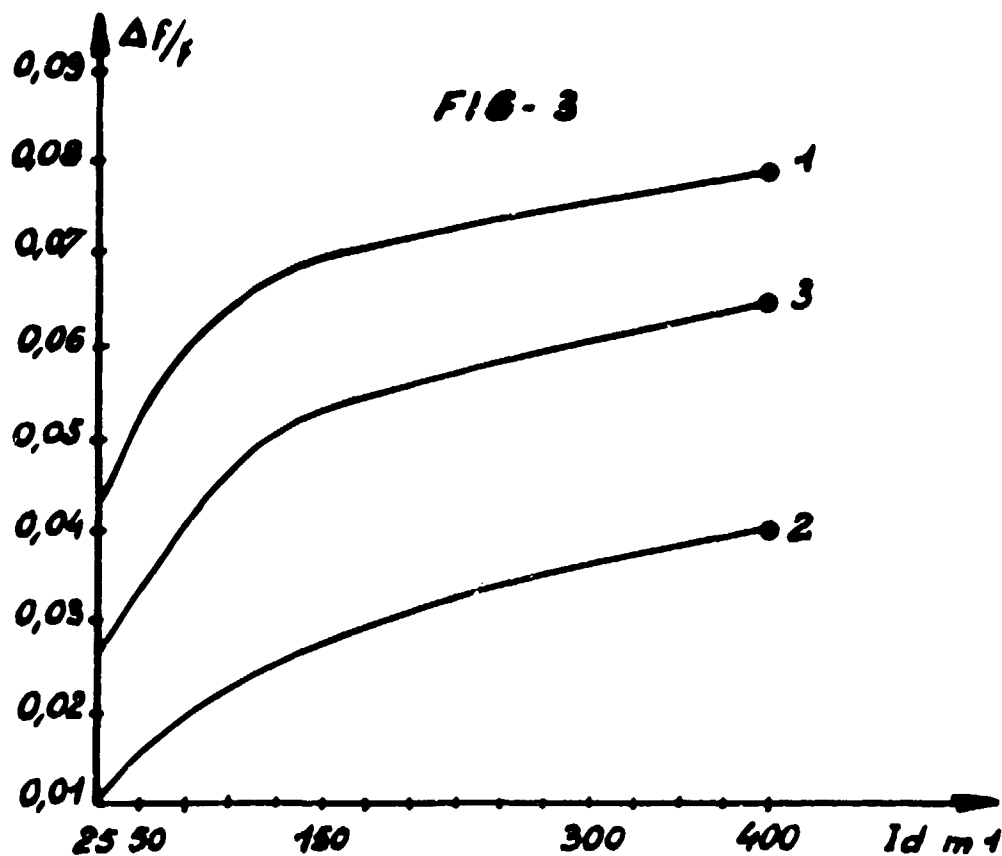


FIG-2

Amortissement dû au plasma  
en fonction du courant de décharge



Glissement  
de fréquence  
dû au plasma  
en fonction du  
courant de  
décharge

Nous observons une augmentation du coefficient de qualité en charge  $Q_1$  et du glissement de fréquence  $\Delta f$  quand le courant de décharge  $I_d$  croît.

2 - Discussion des résultats

Si nous appliquons par l'intermédiaire du condensateur  $C_p$ , un champ électrique uniforme  $E$  de fréquence  $f$  dans un plasma homogène de densité  $n$ , nous aurons une densité de courant  $J$  liée à  $E$  par la relation :

$$J = j \omega \epsilon_p E$$

$$\epsilon_p = \epsilon_0 \left[ 1 - \frac{\omega_p^2}{\omega(\omega - j\nu)} \right] \quad \omega_p^2 = \frac{n_e^2}{m \epsilon_0} \quad \omega = 2\pi f$$

$n$  densité électronique,  $e$  = charge de l'électron,  $m$  = masse de l'électron,  $\nu$  fréquence de collision.





$$L_p \approx 0,1 \mu H \quad R_p \approx 10 \Omega$$

L'auteur explique la diminution de la fréquence propre du circuit antirésonant  $L_0 C_0$  auquel le condensateur à plasma est branché en faisant l'hypothèse que  $L_p$  et  $R_p$  doivent être considérés comme montés en série avec  $L_0$ . En effet, le branchement de  $L_p$  en parallèle se traduit au contraire par une augmentation de la fréquence propre du circuit  $L_0 C_0$  (voir figure 1 du schéma de montage) de même une résistance  $R_p$  de  $10 \Omega$  branchée en parallèle rendrait le circuit  $L_0 C_0$  totalement aperiodique.

$L_p$  et  $R_p$  seront déduits de  $\Delta f$  et  $Q_1$  par les relations :

$$\frac{L_p}{L_0} = 2 \frac{\Delta f}{f_0} \quad \text{et} \quad R_p = L_0 \omega_0 \left( \frac{1}{Q_1} - \frac{1}{Q_0} \right)$$

Connaissant  $L_p$  et  $R_p$  on peut calculer la densité électronique  $n$  et la fréquence de collision  $\nu$  par les relations (3) et (4).

## II - DISCUSSIONS THEORIQUES ET VERIFICATIONS EXPERIMENTALES DE L'HYPOTHESE DE VASSERMANN -

Le dispositif employé est analogue à celui de Vassermann. Un tube à décharge à cathode froide traverse les armatures d'un condensateur plan  $C_p$ . Ce dernier est branché en parallèle sur un circuit antirésonant  $L_0 C_0 r_0$  dont nous observons le glissement de fréquence propre et l'amortissement au passage de la décharge. La meilleure méthode pour vérifier l'hypothèse de Vassermann d'après laquelle

la résistance

$$R_p = \frac{\nu^2 + \omega^2}{c \nu \omega_p^2}$$

doit être branchée en série avec l'inductance  $L_0$  consiste à mesurer le rapport  $Q_1/Q_0$  de la surtension en charge sur la surtension à vide en fonction de la pression du gaz en opérant dans la zone de pression ou en choisissant une fréquence  $f$  telle que

$$\nu < \omega \quad \omega = 2 \pi f$$

Dérivons l'expression de  $R_p$  en fonction de  $\nu$

$$\frac{d R_p}{d \nu} = \frac{1}{c \omega_p^2} \cdot \frac{\nu^2 - \omega^2}{\nu^2}$$

pour

$$\nu < \omega \quad \frac{d R_p}{d \nu} < 0$$

$R_p$  décroît quand  $\nu$  augmente en restant inférieur à  $\omega$ .

Si nous augmentons la pression la fréquence de collision  $\nu$  et  $\omega_p^2$  croissent et tant que  $\nu < \omega$  la résistance  $R_p$  doit diminuer rapidement d'après l'expression de  $R_p$ . Il en résulte une augmentation du rapport  $Q_1/Q_0$  avec la pression du gaz.

Nous avons choisi comme fréquence de travail :

$$f = 27 \text{ MHz} \quad \omega = 1,7 \cdot 10^8$$

et mesurons le rapport  $Q_1/Q_0$  en augmentant la pression  $p_0$  de

$10^{-3}$  mm Hg à  $5.10^{-2}$  mm Hg. Nous opérons avec un courant de décharge I faible de l'ordre de 0,5 mA. Dans ce cas I peut s'écrire :

$$I = neS \bar{v} \quad (5)$$

n densité électronique, e charge de l'électron, S section du cylindre de plasma,  $\bar{v}$  vitesse moyenne des électrons dans le sens de l'écoulement du plasma, I est proportionnel à la densité électronique n et peut être mesuré en branchant simplement un milliampèremètre en série avec le générateur de tension d'amorçage,  $\bar{v}$  est donnée en fonction de la pression du gaz par la relation

$$\bar{v} = 5,931.10^7 u^{1/2} p_0 \cdot P \cdot s^{-1} \quad (6)$$

où u est l'énergie des électrons en eV,  $p_0$  la pression en mm Hg, P la probabilité de collision dont nous donnons ci-dessous la valeur en fonction de  $\sqrt{u}$  pour le gaz employé (ARGON) (figure 4).

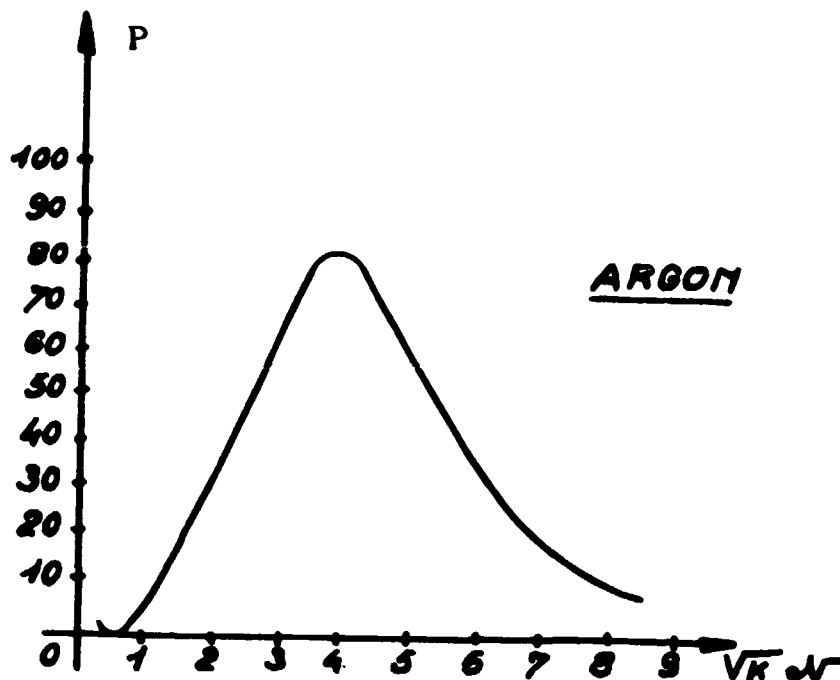


FIG - 4

L'énergie des électrons dans notre dispositif mesurée à l'aide d'une sonde de Langmuir est de l'ordre de 6 eV , ce qui correspond à une température de l'ordre de 40 000° K, la courbe de la figure 4 donne comme probabilité de collision  $P \doteq 50$ .

Nous calculons ci-dessous quelques valeurs de  $\nu$  en fonction de la pression.

(mm Hg)	$\nu$ s <sup>-1</sup>
$10^{-3}$	$7,4 \cdot 10^6$
$2 \cdot 10^{-3}$	$1,5 \cdot 10^7$
$5 \cdot 10^{-3}$	$3,7 \cdot 10^7$
$10^{-2}$	$7,4 \cdot 10^7$
$2 \cdot 10^{-2}$	$1,5 \cdot 10^8$

Ce tableau nous montre que tant que la pression est inférieure à  $2 \cdot 10^{-2}$  mm Hg la fréquence de collision est inférieure à la fréquence appliquée :

$$P_0 \leq 2 \cdot 10^{-2} \text{ mm Hg } \nu < \omega$$

Pour  $P_0 \leq 2 \cdot 10^{-2}$  mm Hg nous devons avoir une diminution rapide de  $R_p$  et par suite une augmentation rapide du rapport  $Q_1/Q_0$

avec la pression, si  $R_p$  est en série avec l'inductance  $L_0$  du circuit oscillant, ce qui n'est pas confirmé par les résultats expérimentaux que nous reproduisons ci-dessous

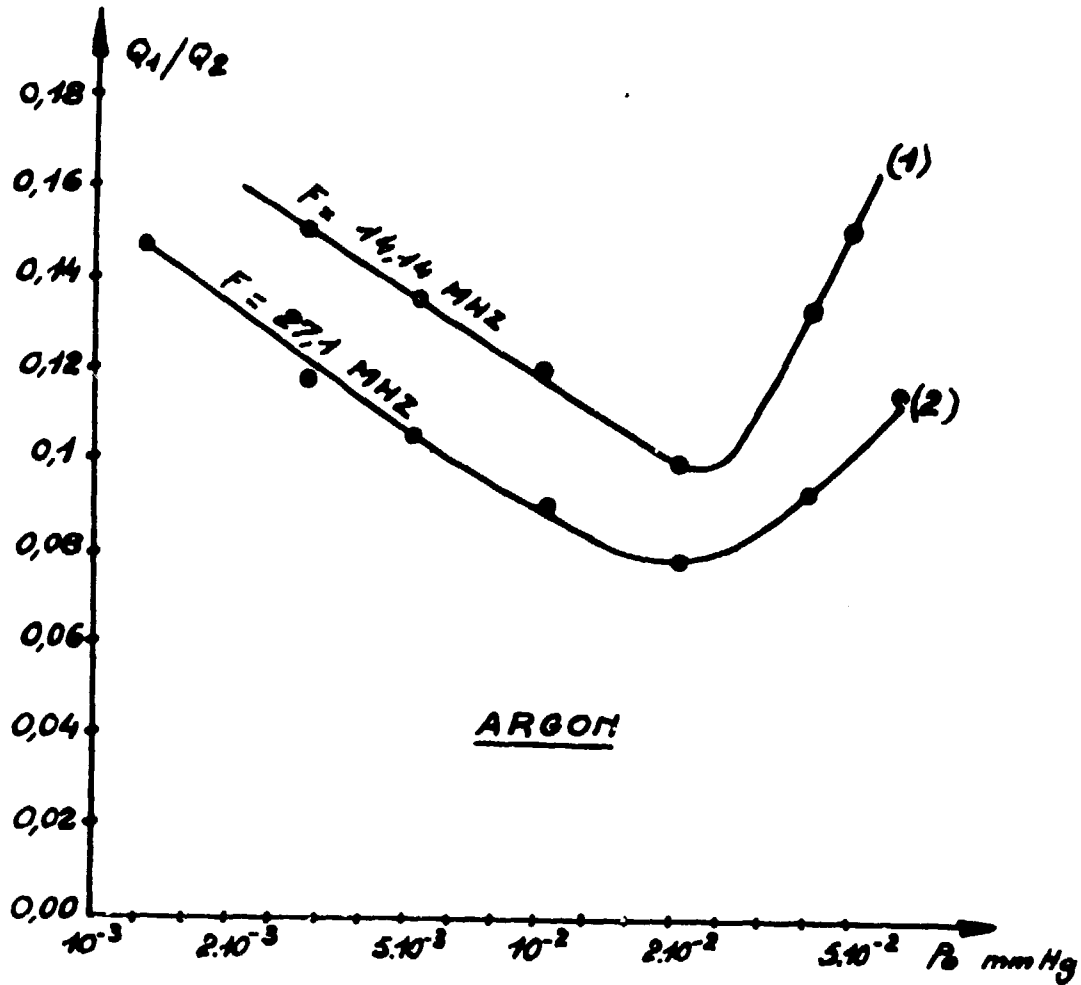
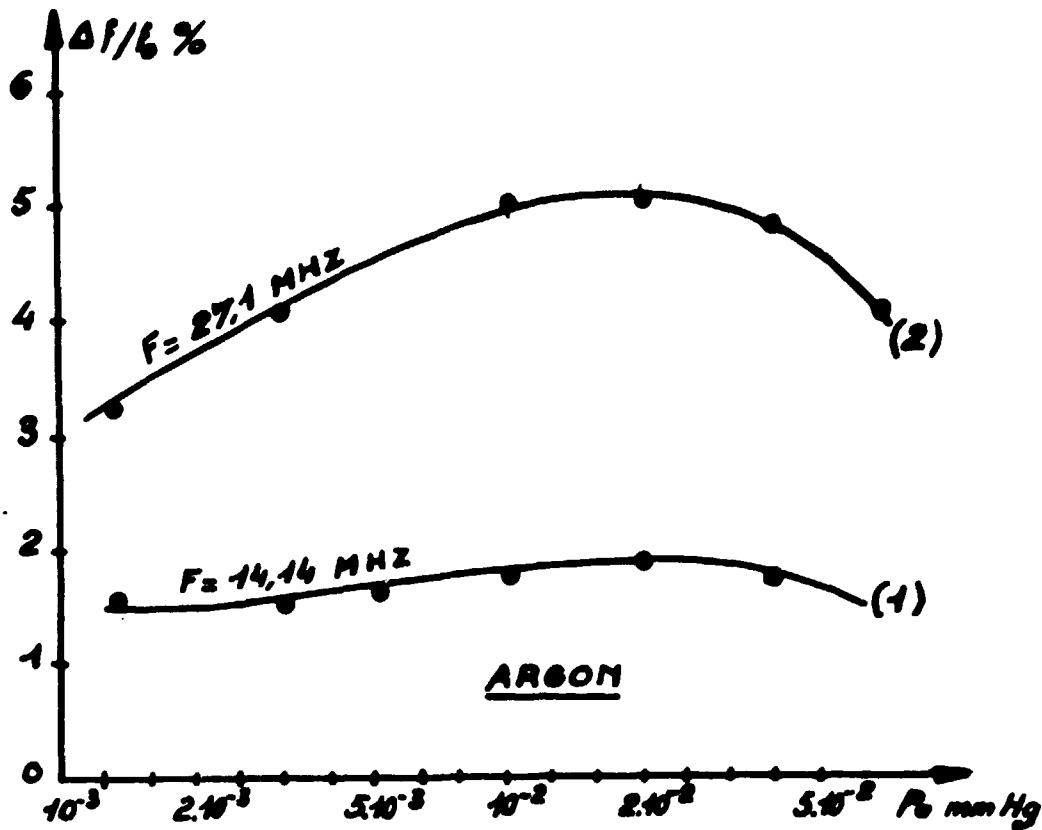


FIG - 5

Mesure de l'amortissement dû au plasma en fonction de la pression pour deux fréquences appliquées différentes



Mesure du glissement de fréquence dû au plasma en fonction de la pression

FIG-6

D'après les résultats de mesure nous pouvons faire les remarques suivantes :

- 1°. Le rapport  $Q_1/Q_0$  du coefficient de surtension en charge sur la surtension à vide qui figure l'amortissement dû au plasma diminue quand la pression augmente dans la zone pour laquelle la fréquence de collision est inférieure à la fréquence appliquée.

$$\nu < \omega$$

l'hypothèse d'une résistance série  $R_p = \frac{\nu^2 + \omega^2}{c \nu \omega_p^2}$

introduite dans le circuit antirésonant  $L_0 C_0$  n'est pas justifiable d'après la discussion que nous avons faite précédemment.

- 2°. Pour  $p. \leq 2 \cdot 10^{-2}$  mm Hg le glissement de fréquence augmente avec la pression.

- 3° Pour une même valeur de la pression le rapport  $Q_1/Q_0$  augmente quand la fréquence appliquée diminue.

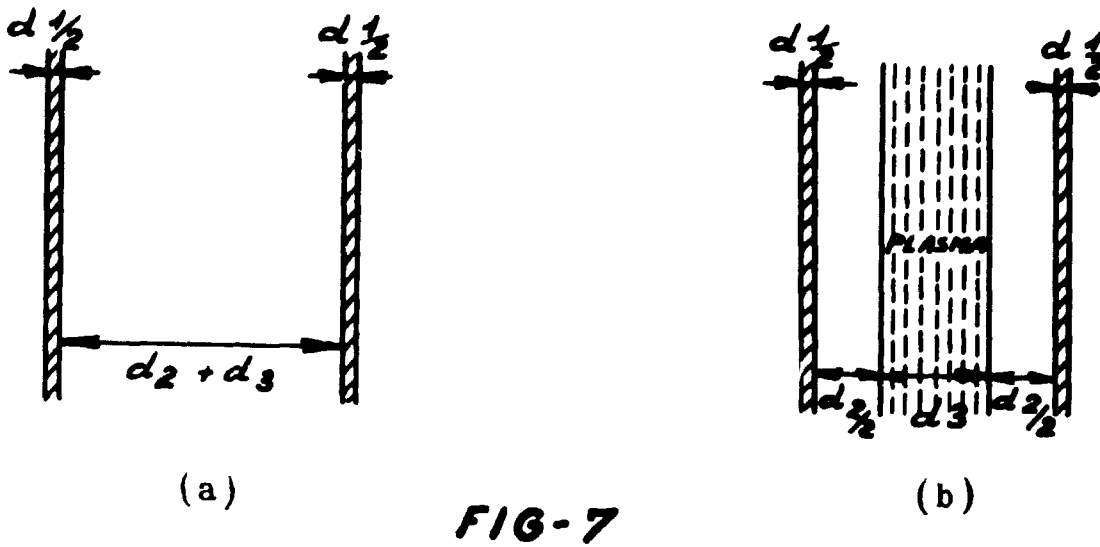
### III - INTERPRETATIONS DES RESULTATS DE MESURE -

Nous donnons dans ce paragraphe une interprétation théorique des observations expérimentales. Par la suite il s'est révélé qu'il faut tenir compte de la répartition non homogène de densité dans une section droite de la colonne de plasma. Pour l'instant nous faisons l'hypothèse d'une répartition de densité homogène.

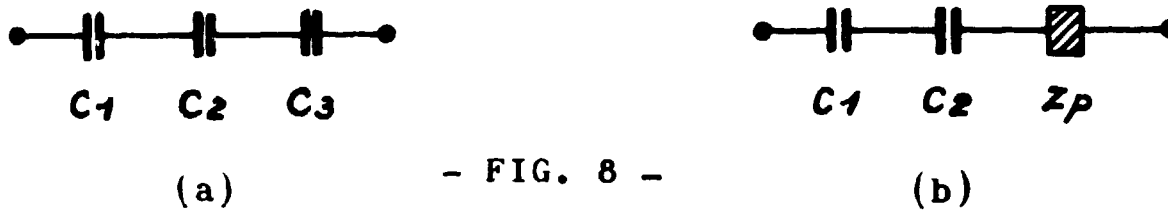
Considérons un condensateur plan formé par deux plaques de cuivre rectangulaires et parallèles. La section de ces plaques est suffisamment grande pour qu'on puisse supposer que dans la région centrale où passe la colonne de plasma le champ électrique est uniforme. L'espace interélectrode étant initialement vide. Nous allons examiner comment la présence de plasma entre les électrodes peut introduire des pertes et modifier la réactance aux bornes du condensateur.

Nous devons tenir compte de deux faits essentiels :

- 1° L'épaisseur de verre du tube à décharge n'est pas négligeable.
- 2° La colonne de plasma de diamètre  $d_1$  ne remplit pas totalement l'espace inter électrode. Un espace vide se trouve entre la paroi de verre et la frontière du plasma (voir figure 7).



Les schémas électriques équivalents du condensateur sans et avec la colonne de plasma sont respectivement :



où :  $C_1 = \frac{\epsilon S}{d_1}$        $C_2 = \frac{\epsilon_0 S}{d_2}$        $C_3 = \frac{\epsilon_0 S}{d_3}$

$\epsilon$  : constante électrique absolue du verre  $\epsilon/\epsilon_0 = 5$

S : surface des électrodes

$Z_p$  : impédance équivalente à la colonne de plasma.

Exemple numérique :

$S = 13,5 \text{ cm}^2$        $d_1 = 0,3 \text{ cm}$        $d_2 = 0,2 \text{ mm}$        $d_3 = 3,5 \text{ cm}$

$C_1 = 15 \text{ pF}$        $C_2 = 6 \text{ pF}$        $C_3 = 0,34 \text{ pF}$



1° Calcul de l'impédance  $Z_p$

Soit  $\xi_x$  le champ électrique uniforme de fréquence  $f$  existant dans le plasma et  $J_x$  la densité de courant correspondante  $J_x$  et  $\xi_x$  sont liés par la relation

$$J_x = j \omega \epsilon_p \xi_x \quad (7)$$

$\epsilon_p$  est la constante diélectrique du plasma à la fréquence  $f$ .

$$\epsilon_p = \epsilon_0 \left[ 1 - \frac{\omega_p^2}{\omega(\omega - j\nu)} \right] \quad (8)$$

$\omega_p$  est la fréquence de résonance du plasma soit en système Giorgi :

$$\omega_p^2 = \frac{ne^2}{m \epsilon_0} \quad \text{tenant compte de (8)}$$

$$J_x = \left[ j \omega \epsilon_0 + \frac{\nu \epsilon_0 \omega_p^2}{\nu^2 + \omega^2} + \frac{1}{j\omega} \cdot \frac{\epsilon_0 \omega_p^2 \omega^2}{\nu^2 + \omega^2} \right] \xi_x \quad (9)$$

(9) peut s'écrire en posant :  $\mathcal{E} = \xi_x d_3$  et  $J = J_x S$

$$J = \left[ j \omega \frac{\epsilon_0 S}{d_3} + \frac{\epsilon_0 S}{d_3} \cdot \frac{\nu \omega_p^2}{\nu^2 + \omega^2} + \frac{1}{j\omega} \cdot \frac{\epsilon_0 S}{d} \cdot \frac{\omega_p^2 \omega^2}{\nu^2 + \omega^2} \right] \mathcal{E} \quad (10)$$

L'équation (10) montre que l'impédance  $Z_p$  du plasma est celle d'une résistance

$$R_p = \frac{\nu^2 + \omega^2}{c_3 \nu \omega_p^2}$$

en parallèle avec une inductance

$$L_p = \frac{1}{C_3 \omega_p^2} \cdot \frac{\gamma^2 + \omega^2}{\omega^2}$$

et une capacité  $C_p = C_3$

entre  $L_p$  et  $R_p$  existe la relation

$$\frac{R_p}{L_p \omega} = \frac{\omega}{\gamma} \quad (11)$$

La figure 9 montre les schémas électriques du condensateur sans et avec la colonne de plasma.

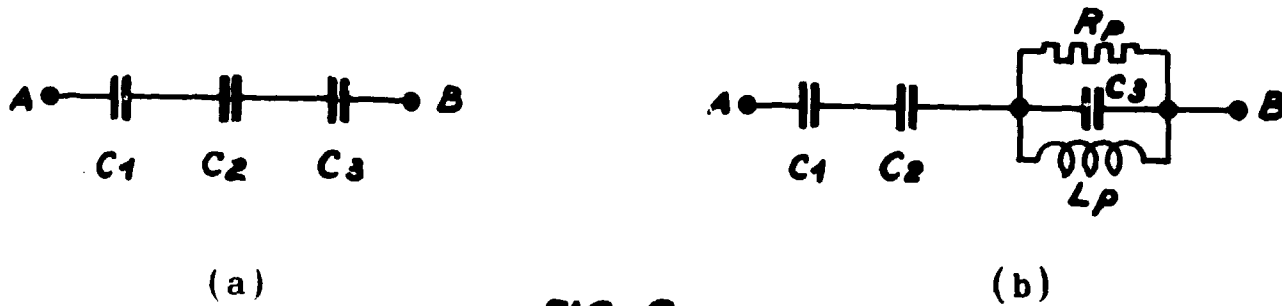


FIG. 9

Pour  $F \approx 27$  MHz et une densité de l'ordre de  $10^{10}$  e/cm<sup>3</sup>  
 $L_p C_3 \omega_p^2 \ll 1$  le plasma est inductif.

L'impédance  $Z_p$  du plasma est en série avec un condensateur C tel que :

$$\frac{1}{C} = \frac{1}{C_1} + \frac{1}{C_2}$$

et dans les conditions de notre expérience

$$\frac{1}{C \omega} \ll Z_p$$

2° Calcul de l'impédance entre les points A et B de la figure 9 avec et sans décharge.

a) Sans décharge

L'impédance entre A et B est celle des trois capacités  $C_1$ ,  $C_2$ ,  $C_3$  en série si  $C'_0$  est la capacité équivalente :

$$\frac{1}{C'_0} = \frac{1}{C_1} + \frac{1}{C_2} + \frac{1}{C_3}$$

Avec l'exemple numérique cité précédemment :

$$C'_0 = 0,32 \text{ pF}$$

b) Avec décharge (figure 9 - b)

L'impédance entre les points A et B en présence de la colonne peut être représentée par la mise en parallèle d'un condensateur  $C_a$  et une résistance  $R_a$ . Après un calcul long et fastidieux nous trouvons :

$$C_a = C \frac{1 + \left(\frac{R_p}{L_p \omega}\right)^2 (1 - L_p C_3 \omega^2) \left[1 - L_p (C + C_3) \omega^2\right]}{1 + \left(\frac{R_p}{L_p \omega}\right)^2 \left[1 - L_p (C + C_3) \omega^2\right]^2} \quad (12)$$

$$R_a = R_p \frac{1 + \left(\frac{R_p}{L_p \omega}\right)^2 \left[1 - L_p (C + C_3) \omega^2\right]^2}{\left(\frac{R_p}{L_p \omega}\right)^2 (L_p C \omega^2)^2} \quad (13)$$

Dans les conditions de notre expérience :

$$L_p C_3 \omega^2 \ll 1 \quad \text{et} \quad L_p (C + C_3) \omega^2 \ll 1$$

Nous pouvons écrire les formules approximatives suivantes :

$$C_a \doteq C \quad (12')$$

$$R_a \doteq \frac{1}{R_p} \cdot \frac{1 + \left(\frac{R_p}{L_p} \omega\right)^2}{C^2 \omega^2} \quad (13')$$

La capacité apparente  $C_a$  en présence de la colonne de plasma est nettement plus grande que celle en absence de décharge

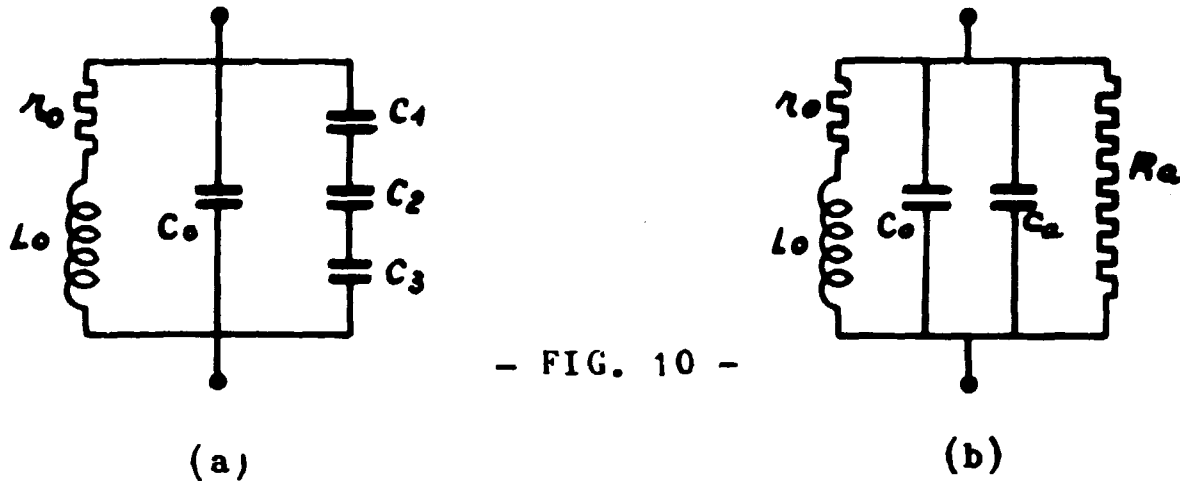
$$C_a \doteq C = 4,3 \text{ pF} \quad C'_0 \doteq 0,32 \text{ pF}$$

Il y a donc augmentation de capacité  $\Delta C = C_a - C_0 \doteq 4 \text{ pF}$  bien que le plasma soit inductif pour la fréquence utilisée. Ce qui explique la diminution de la fréquence propre du circuit oscillant  $L_0 C_0$  auquel le condensateur à plasma est branché en parallèle. Vassermann explique cette diminution de fréquence propre en supposant que l'inductance  $L_p$  du plasma se met en série avec  $L_0$  ce qui nous semble peu justifiable étant donné le schéma de son montage (figure 1 - paragraphe I). Tenant compte de la relation (11)  $R_a$  peut s'écrire :

$$R_a \doteq \frac{1}{R_p} \cdot \frac{1}{C^2 \omega^2} \cdot \frac{\omega^2 + \gamma^2}{\gamma^2} \quad (14)$$

Lorsque le condensateur à plasma se trouve branché en parallèle sur le circuit antirésonant  $L_0 C_0$ , le glissement de fré-

quence et l'amortissement en charge de ce dernier sont dus respectivement à la capacité  $C_a$  et à la résistance parallèle  $R_a$  (figure 10)



- FIG. 10 -

$C_a$  et  $R_a$  peuvent être déduits de la mesure de glissement de fréquence et du coefficient de surtension en charge  $Q_1$  du circuit antirésonant.

$$\frac{C_a}{C_0} = 2 \frac{\Delta f}{f_0} \quad R_a = \frac{Q_0 L_0 \omega}{(Q_0/Q_1) - 1}$$

Nous sommes en mesure d'expliquer les résultats expérimentaux donnés au paragraphe II (figures 5 et 6).

1°- Variation du rapport  $Q_1/Q_0$  en fonction de la pression.

Remplaçons dans la relation (14)  $R_p$  par sa valeur

$$R_p = \frac{\nu^2 + \omega^2}{c_3 \nu \omega_p^2}$$

nous obtenons :

$$R_a = \frac{c_3 \omega_p^2}{\nu c^2 \omega^2} \quad (15)$$

a) Dans la zone de pression comprise entre  $10^{-3}$  et  $10^{-2}$  mm Hg la densité électronique  $n$  proportionnelle à  $\omega_p^2$  augmente, mais moins vite que la fréquence de collision quand la pression croît.  $R_a$  diminue donc quand la pression augmente d'après la relation (15) d'où une diminution correspondante du rapport  $Q_1/Q_0$  (figure 5).

b)  $p \gg 2 \cdot 10^{-2}$  mm Hg : quand la pression augmente à partir de  $p = 10^{-2}$  mm Hg c'est la densité électronique qui augmente plus vite que la fréquence de collision (nous observons expérimentalement une augmentation rapide du courant de décharge proportionnel à  $n$  en fonction de la pression pour  $p \gg 10^{-2}$  mm Hg). Le plasma devient plus conducteur  $R_a$  augmente avec la pression d'où une augmentation correspondante du rapport  $Q_1/Q_0$  (courbe figure 5).

## 2°- Variation $Q_1/Q_0$ en fonction de la fréquence appliquée.

Nous constatons sur la figure 5 une augmentation du rapport  $Q_1/Q_0$  quand la fréquence appliquée  $f$  diminue pour une pression donnée. La courbe mesurant  $Q_1/Q_0$  en fonction de la pression à 14,14 MHz est au-dessous de la même courbe mesurée à 27,1 MHz, ce qui est facilement explicable par la relation (15) :  $R_a$  étant inversement proportionnel à  $\omega^2$ .

## 3°- Variation du rapport $\Delta f/f$ en fonction de la pression.

Reprenons la relation (12) qui peut s'écrire en négligeant  $L_p C_3 \omega^2$  devant 1 et  $C_3$  devant C et en remplaçant  $R_p/L_p$  par  $\omega/\gamma$

$$C_a = \frac{C}{1 - \frac{C}{C_3} \frac{\omega^2 + \gamma^2}{\omega_p^2}}$$

Pour les faibles pression  $\gamma^2$  augmente plus vite que  $\omega_p^2$  c'est-à-dire que la densité  $n$  ; le dénominateur de (16) décroît avec la pression d'où une augmentation de  $C_a$  et par suite du rapport  $\Delta f/f$ .

$$\frac{\Delta f}{f} = \frac{1}{2} \frac{C_a}{C_0}$$

Pour des pressions supérieures à  $10^{-2}$  mm Hg nous avons vu que  $\omega_p^2$  augmente plus vite que  $\gamma^2$  le dénominateur de (16) augmente avec la pression d'où une diminution de  $C_a$  ou du rapport  $\Delta f/f$  (voir figure 6).

#### 4°- Variation du rapport $\Delta f/f$ avec la fréquence appliquée :

La relation (16) laisse prévoir que pour une pression donnée  $C_a$  et par suite  $\Delta f/f$  augmente avec la fréquence appliquée, c'est ce que nous constatons sur la figure 6. La courbe mesurant  $\Delta f/f$  en fonction de la pression pour  $f = 27,1$  MHz est au dessus de la même courbe pour  $f = 14,14$  MHz.

Déduisons des mesures de  $R_a$  et  $C_a$  la densité électronique  $n$  pour  $p_0 = 10^{-2}$  mm Hg,  $f = 27,11$  MHz,  $Q_1/Q_0 = 0,09$ ,  $Q_0 = 200$ ,  $L_0 = 0,9 \mu H$

$$R_a = 3\ 000 \ \Omega$$

$$R_p = 4\ 500 \ \Omega$$

$$C_a = 4 \text{ pF}$$

$$\gamma = 7,4 \cdot 10^7$$

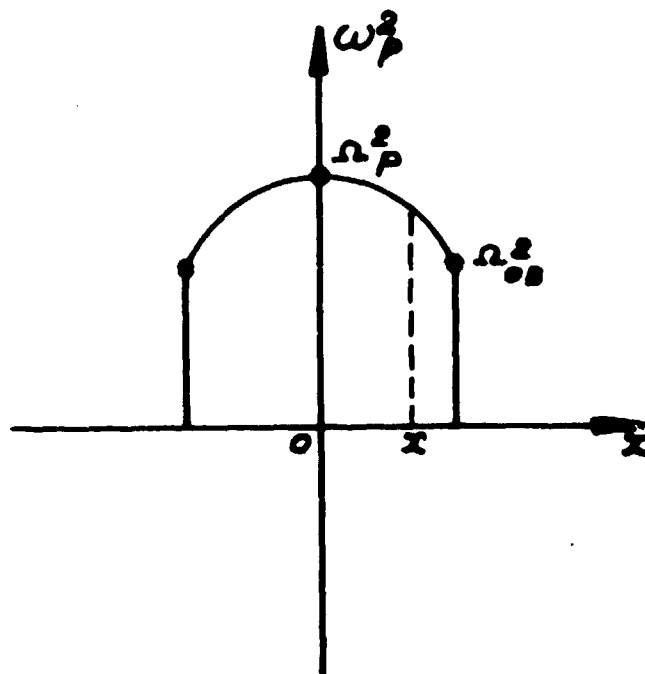
$$\underline{n = 10^8 \text{ e/cm}^3}$$

alors que la même mesure faite avec une sonde de Langmuir nous donne une densité de l'ordre de  $5.10^9$  e/cm<sup>3</sup>.

L'écart entre les deux méthodes semble provenir de l'hypothèse d'une distribution homogène de densité dans une section droite de la colonne de plasma. En effet, il nous semble plus juste de tenir compte de la répartition non homogène de densité dans une section droite de la colonne de plasma. La densité maximum au centre décroît ensuite vers la périphérie et s'annule brusquement à la frontière vide-plasma. Les couches périphériques de densité nettement plus faible sont beaucoup moins conductibles que la région centrale et donnent un amortissement plus grand au circuit  $L_0 C_0$ .

#### IV - CALCUL DE LA RESISTANCE D'AMORTISSEMENT $R_p$ EN TENANT COMPTE DE LA REPARTITION NON HOMOGENE DE DENSITE DANS UNE SECTION DROITE DE LA COLONNE DE PLASMA -

Nous faisons l'hypothèse, valable pour de faibles courants de décharge, d'une répartition quadratique de densité dans une section droite (figure 11).



- FIG. 11 -



La fréquence de résonance  $\omega_p^2$  de la couche située à la distance  $x$  de l'axe peut s'écrire :

$$\omega_p^2 = \Omega_p^2 \left[ 1 - m^2 \frac{4x^2}{d_3^2} \right]^2 \quad (17)$$

où  $\Omega_p^2$  est la fréquence de résonance au centre ( $x = 0$  maximum de densité)  $d_3/2$  est le rayon de la colonne de plasma,  $m^2$  un paramètre qui fixe le rayon de courbure pour  $x = 0$  de la courbe de répartition.

Pour  $m = 0$  nous avons une répartition homogène ;  $m = 1$  correspond au cas d'une répartition avec densité nulle au bord  $\Omega_{oB} = 0$  sans saut brusque.

Pour une couche de densité  $\omega_p^2$  la constante diélectrique peut s'écrire :

$$\epsilon_p = \epsilon_0 \left[ 1 - \frac{\omega_p^2}{\omega(\omega - j\nu)} \right]$$

et la densité de courant  $y$  est liée au champ électrique appliqué  $E$  par la relation :

$$y = j \omega \epsilon_p E \quad \text{soit} \quad E = \frac{J}{j \omega \epsilon_p}$$

remplaçant dans l'expression de  $\epsilon_p$  :  $\omega_p^2$  par sa valeur donnée par (17) et intégrant entre  $x = -d_3/2$  et  $x = +d_3/2$  nous obtenons la relation liant la tension appliquée et la densité de courant  $y$ .

$$Y = \int_{-d_3/2}^{+d_3/2} \frac{J}{j \omega \epsilon_p} dx = \frac{J}{2 \epsilon_0} \cdot \frac{d_3}{m \Omega_p} \cdot \frac{j \omega + \nu}{b} \int_n \frac{b - m \Omega_p}{b + m \Omega_p}$$

avec  $b^2 = \Omega_p^2 - \omega^2 + j \gamma \omega$ . Dans notre cas la fréquence de résonance est très grande par rapport à  $\omega$  et  $\gamma$ .

$$\Omega_p^2 \gg \omega^2 \quad \Omega_p^2 \gg \gamma^2$$

$b \doteq \Omega_p$  et  $\mathcal{E}$  peut s'écrire

$$\mathcal{E} = - \frac{J}{2 \epsilon_0} \cdot \frac{d_3}{m \Omega_p^2} (j \omega + \gamma) f_n \frac{1-m}{1+m}$$

soit  $J$  l'intensité de courant

$$J = JS \quad \text{et} \quad \frac{\epsilon_0 S}{d_3} = C_3$$

$$f_n \doteq \frac{1}{2m} \cdot f_n \cdot \frac{1+m}{1-m} \cdot \frac{1}{C_3 \Omega_p^2} (\gamma + j \omega) J \quad (18)$$

La colonne de plasma est donc équivalente à une résistance  $r_p$

$$r_p = \frac{1}{2m} f_n \frac{1+m}{1-m} \cdot \frac{\gamma}{C_3 \Omega_p^2}$$

en série avec une inductance  $l_p$

$$l_p = \frac{1}{2m} f_n \frac{1+m}{1-m} \cdot \frac{1}{C_3 \Omega_p^2}$$

Transformons ce schéma série en schéma parallèle, nous obtenons :

$$R_p = \frac{1}{2m} \cdot f_n \frac{1+m}{1-m} \cdot \frac{1}{C_3 \Omega_p^2} \cdot \frac{\gamma^2 + \omega^2}{\gamma} \quad (19)$$



$$\|\sigma\| = \begin{vmatrix} \sigma_1 & -\sigma_2 & 0 \\ \sigma_2 & \sigma_1 & 0 \\ 0 & 0 & \sigma_0 \end{vmatrix} \quad (23)$$

avec  $\sigma_0 = \epsilon_0 \omega_p^2 \frac{1}{\nu + j\omega}$        $\sigma_1 = \epsilon_0 \omega_p^2 \frac{\nu + j\omega}{(\nu + j\omega)^2 + \Omega_0^2}$

$$\sigma_2 = \epsilon_0 \omega_p^2 \frac{\Omega}{(\nu + j\omega)^2 + \Omega_0^2}$$

$\Omega_0 = \frac{e B_0}{m}$  est la fréquence cyclotronique des électrons.

La densité de courant  $\vec{j}$  est liée au champ électrique appliqué par la relation

$$\vec{j} = \|\sigma\| \vec{E}$$

soit :

$$j_x = \sigma_1 E_x - \sigma_2 E_y$$

$$j_y = \sigma_2 E_x + \sigma_1 E_y$$

$$j_z = \sigma_0 E_z \quad (24)$$

Le champ magnétique  $B_0$  est dirigé suivant Oz et le champ électrique appliqué suivant l'axe Ox.

Dans le plasma le champ électrique a une composante  $E_y$  suivant  $Oy$  due à l'effet Hall ; la composante  $E_z$  est nulle. Dans l'espace vide entre le plasma et la paroi de verre nous avons évidemment  $j_y = 0$  et il en est de même dans la plasma par continuité, nous en déduisons  $E_y$ .

$$j_y = \sigma_2 E_x + \sigma_1 E_y = 0 \quad \text{soit} \quad E_y = - \frac{\sigma_2}{\sigma_1} E_x$$

remplaçant  $E_y$  par sa valeur dans l'expression de  $j_x$ .

$$j_x = \sigma_1 E_x - \sigma_2 E_y = \left( \sigma_1 + \frac{\sigma_2^2}{\sigma_1} \right) E_x = \frac{\sigma_1^2 + \sigma_2^2}{\sigma_1} E_x \quad (25)$$

et la conductibilité dans la direction du champ électrique appliqué devient :

$$\sigma_x = \frac{\sigma_1^2 + \sigma_2^2}{\sigma_1}$$

il y a augmentation de la conductibilité en présence du champ magnétique phénomène observé également dans les couches ionosphériques. En remplaçant  $\sigma_1$  et  $\sigma_2$  par leurs valeurs données précédemment nous obtenons :

$$\sigma_x = \epsilon_0 \omega_p^2 \frac{1}{\sqrt{1 + j\omega}} = \sigma_0 \quad (26)$$

Les résultats de la discussion théorique du paragraphe III restent donc entièrement valables en présence d'un champ magnétique statique et uniforme  $B$ , dirigé suivant l'écoulement du plasma.

## VI - CONCLUSION -

Nous constatons que le fait de travailler à une fréquence fixe très faible vis-à-vis de la fréquence de résonance  $\Omega_\rho$  dans l'axe de la colonne de plasma ne permet pas de mesurer la densité électronique si on ne connaît pas la fonction de répartition de densité dans une section droite. L'hypothèse d'une répartition homogène ( $m = 0$ ,  $d = 1$ ) peut conduire à de grossières erreurs.

Il nous semble préférable de travailler dans une bande de fréquence englobant les fréquences de résonance  $\Omega_\rho$  et  $\Omega_{\rho b}$  du plasma au centre et à la périphérie. On peut mettre ainsi en évidence les résonances successives quand la fréquence appliquée  $\omega$  est égale soit à  $\Omega_\rho$  soit à  $\Omega_{\rho b}$  et d'en déduire en plus de la densité électronique maxima au centre une idée de la répartition de densité dans une section droite. Nous reparlerons de cette méthode dans un prochain rapport.

*Manuscrit reçu le 18 janvier 1960.*

BIBLIOGRAPHIE

- [ 1 ] VASSERMANN I.I.  
J. Tekh Fiziki. 1957, 27, 3, 516-521
- [ 2 ] SCHUMANN W.O.  
Z. Naturforschg 13 A 888-895 (1958) - eingegangen am  
1 Juli 1958.
- [ 3 ] Conseil international des Unions Scientifiques Commissions  
Mixtes de l'ionosphère.
- [ 4 ] LINHART  
Rapport du C.E.R.N. PS/JGL 3 - Décembre 1957.

**FIN**